

**core • logic**



# Narzędzia geoinformatyki w optymalizacji usługi Car Sharing

dr inż. Paweł Skrzyński – Katedra Informatyki Stosowanej AGH, Core Logic Sp. z o.o.

dr inż. Piotr Szwed – Katedra Informatyki Stosowanej, AGH

Kraków, 20.03.2024



# Plan prezentacji

---

## Część I – platforma Core Logic

1. Prezentacja platformy
2. Moduł sztucznej inteligencji wspierający optymalizację działania
  - Dane
  - Opis rozwiązania
  - Wdrożenie

## Część II – kontynuacja prac badawczych

1. Podział na strefy
2. Optymalizacja
  - model stochastyczny MIPS
3. Estymacja prawdopodobieństwa w sieci drogowej
4. Algorytmy propagacji informacji w grafie sieci drogowej

# Część I

# O Core Logic

---

- Ponad **12 lat** na rynku software house
- **50+ pracowników**
- Ponad **7 lat doświadczenia** w e-mobility, carsharing:  
najważniejsze projekty car sharing/vehicle monitoring: Traficar (pierwsza platforma car-sharing w Polsce), innogy GO!, Car Sharing Business, VEHIS, e-mobility: Kathrein GmbH
- **Bon innowacyjny wspólnie z AGH** (zastosowanie metod sztucznej inteligencji w car sharing)

# Pierwsza platforma car-sharingowa w Polsce

---

- Premiera w 2016
- **Model: free floating model** (wynajem i zakończenie wynajmu w dowolnym miejscu)
- Dedykowana platforma Core Logic
- Natywne aplikacje mobilne: Android, iOS
- Panel administracyjny/CMS -> web
- Ciągły rozwój i utrzymanie
- Moduł AI na bazie badań prowadzonych wspólnie z AGH

**Traficar** 



EUROPEAN UNION  
European Regional Development Fund

# Pierwszy w pełni elektryczny carsharing w Polsce

- Wdrożenie w 2019 (tylko EV, BMW i2)
- Free floating model
- Platforma wraz z aplikacjami mobilnymi dostarczona Core Logic
- Webowy panel administracyjny wraz z CMS
- Automatyzacja/ułatwienia ładowania EV

innogy  
go!



# Core Logic w liczbach dzisiaj

---

- ~12 000 samochodów
- ~6000 wynajmów
- >1 mln pobrań aplikacji
- ~500 nowych użytkowników
- > 100 000 km dzienny przebieg
- 20 000 przejazdów





**Po co nam AI?**

# Ograniczona dostępność pojazdów

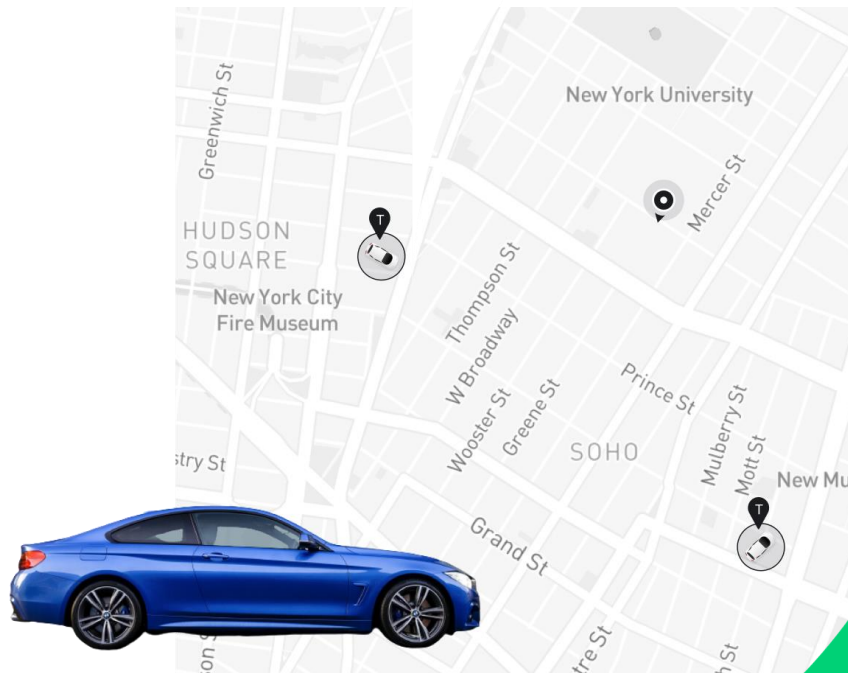
- Dostępność pojazdów – z punktu widzenia użytkownika najważniejszy wskaźnik
- Zależna od lokalizacji pojazdów, ale również platformy software i infrastruktury IT
- Brak pojazdów w strefach wysokiego zapotrzebowania powoduje niedostępność usługi
- Problem z dostarczeniem pojazdów on-demand tam gdzie jest zapotrzebowanie



# Moduł relokacji

Moduł niezależny możliwy do integracji z każdym systemem tej klasy.

Moduł przewiduje zapotrzebowanie i dostępność samochodów w poszczególnych strefach.



**Czego potrzebujemy od platformy,  
żeby zbudować moduł AI?**

# Założenia modułu AI

---

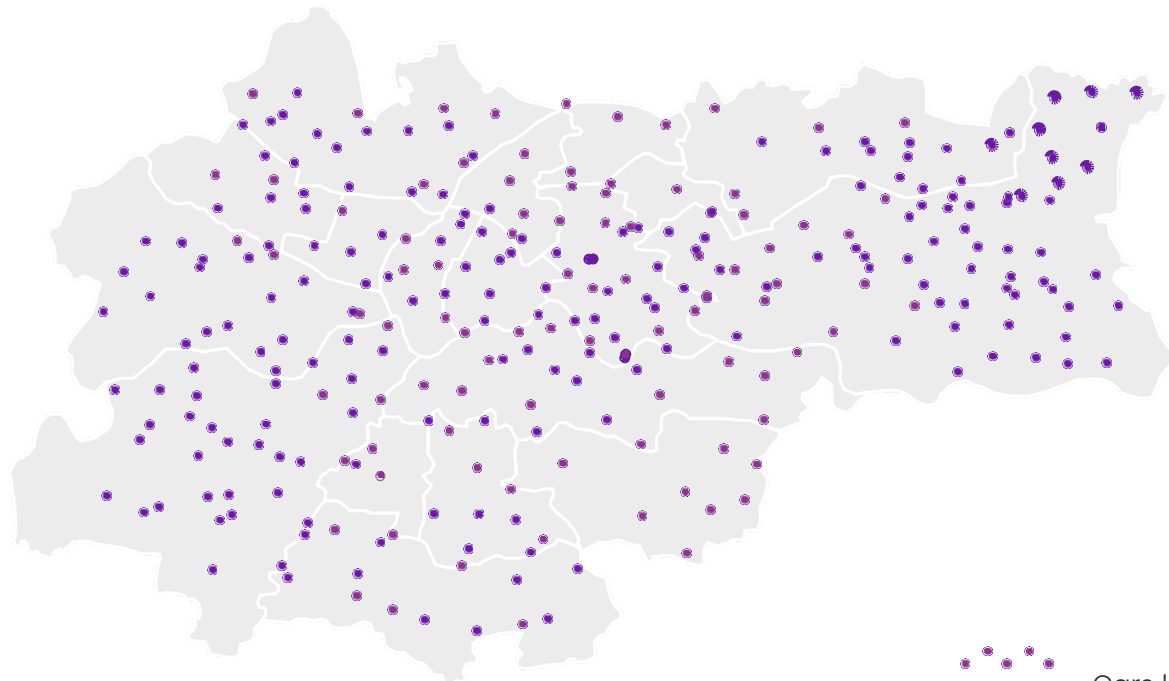
- Dane historyczne interakcji użytkowników
- Dane lokalizacyjne pojazdów (historyczne)
- Dane rezerwacji i przejazdów



**Jak zbudować moduł AI?**

# Podaż

---



Cars location  
in Cracow

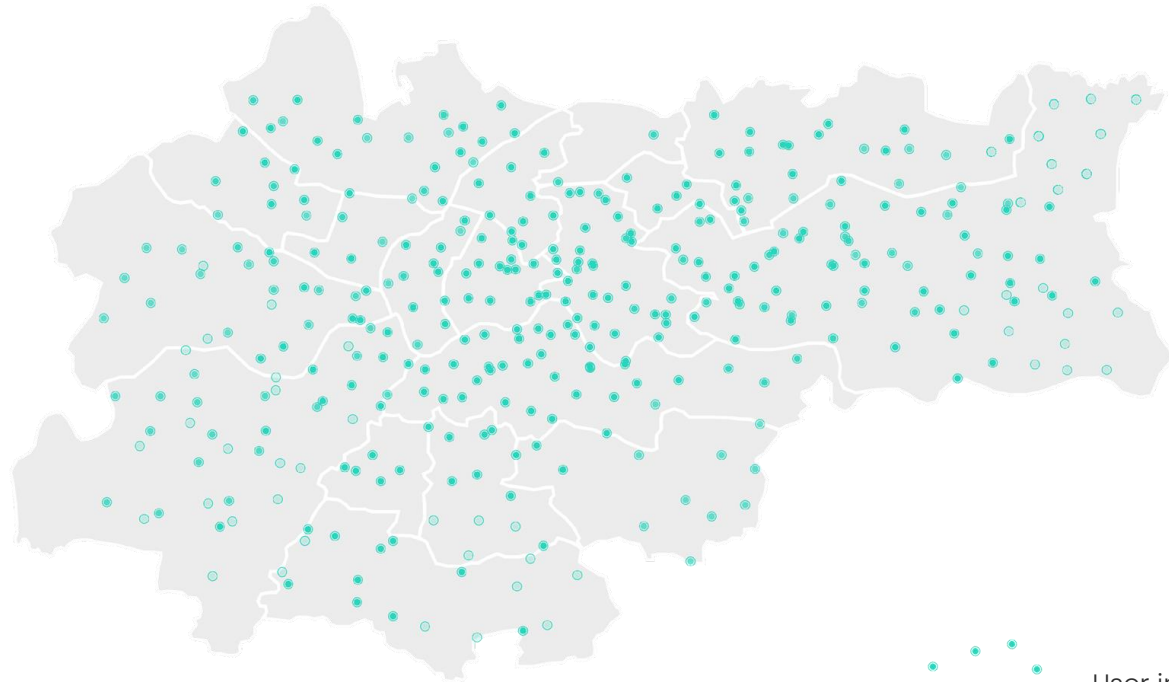


AGH



EUROPEAN UNION  
European Regional Development Fund

# Popyt



User interaction  
in Cracow



AGH



EUROPEAN UNION  
European Regional Development Fund



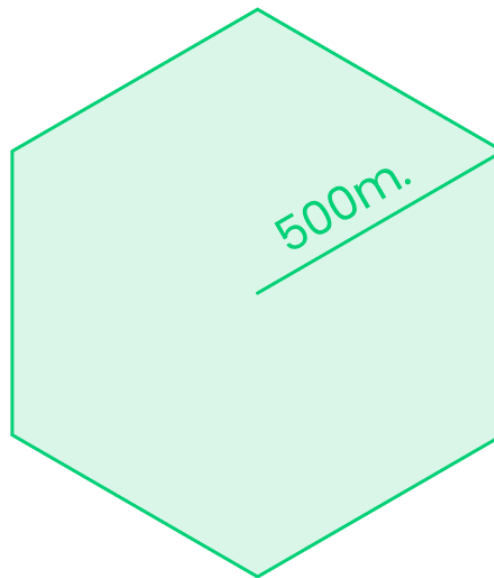
# Podział stref

---

## Hexagon

Plaster miodu – obszary zbliżone do koła jednak nie nachodzą na siebie i szczelnie wypełniają powierzchnię.

Przekątna 1 km (ok. 10min marszu)

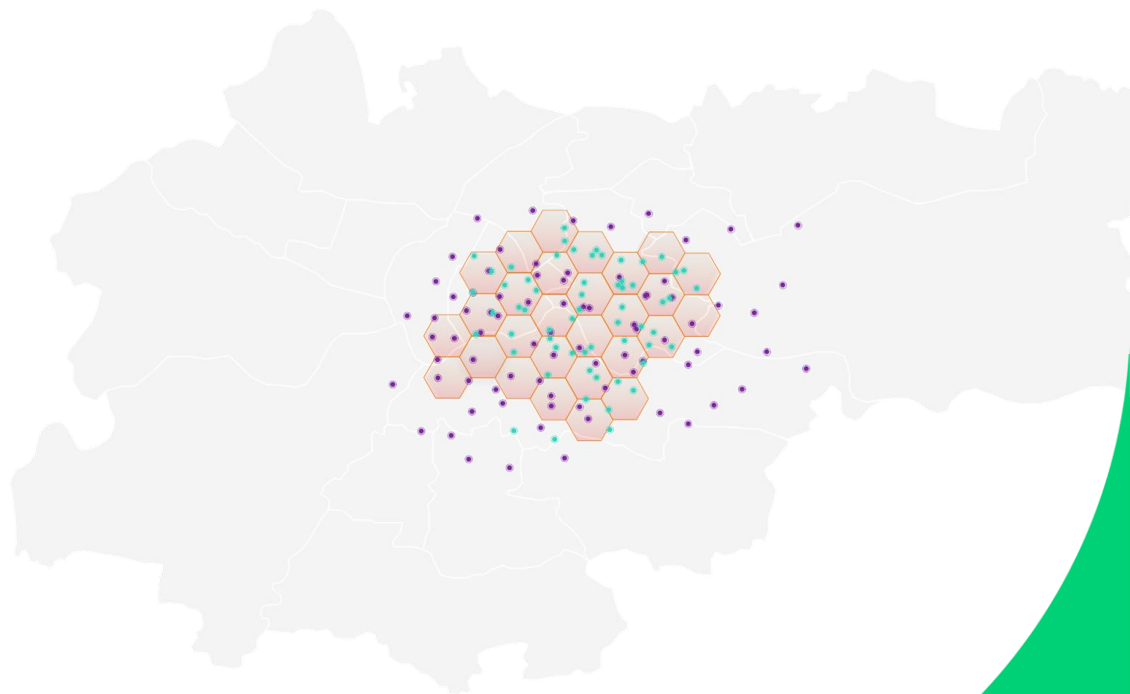


# Podaż/popyt analiza

## Hexagon

Mapa:

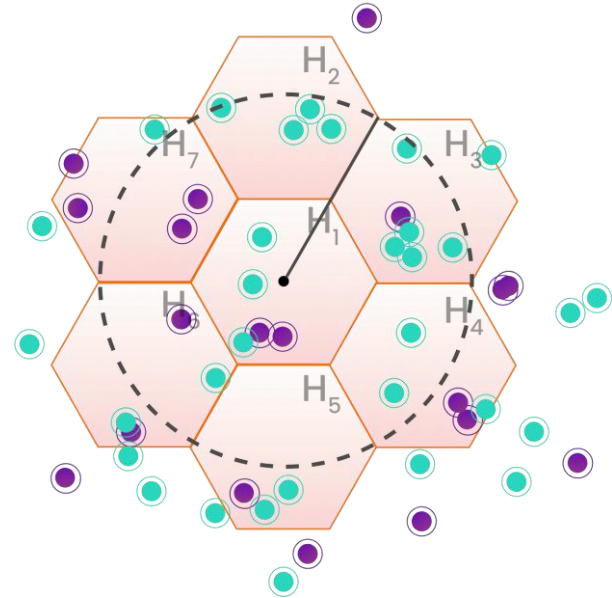
- Interakcje użytkowników – zielone punkty
- Samochody – bordowe punkty



# Metodyka – idea

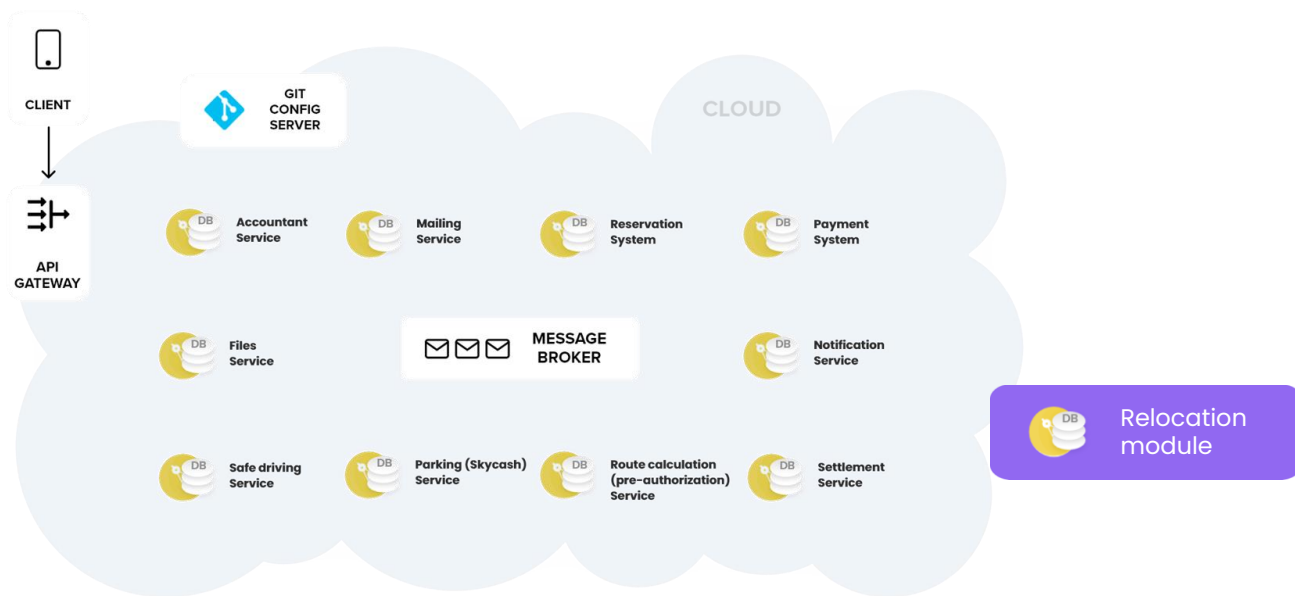
## Analiza popytu

Dla każdego heksagonu wyliczany jest wskaźnik pokrycia popytu w promieniu 1 km (również sąsiednie heksagony).

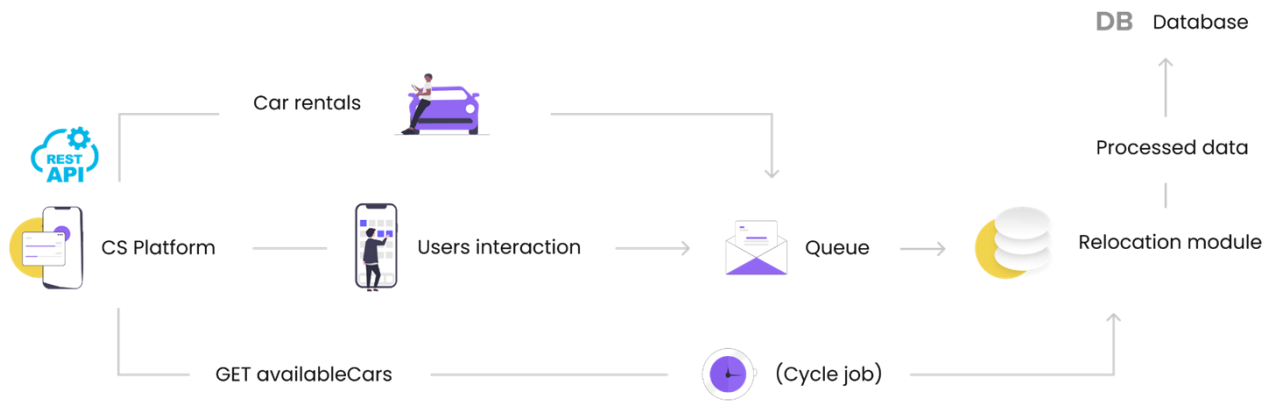


# Jak wdrożyć AI w Car Sharing

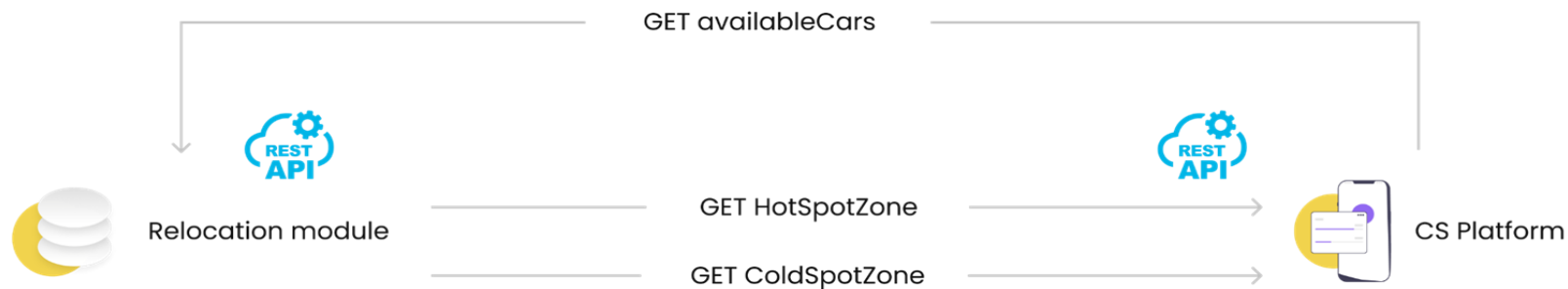
# Architektura platformy car-sharing



# Architektura platformy car-sharing



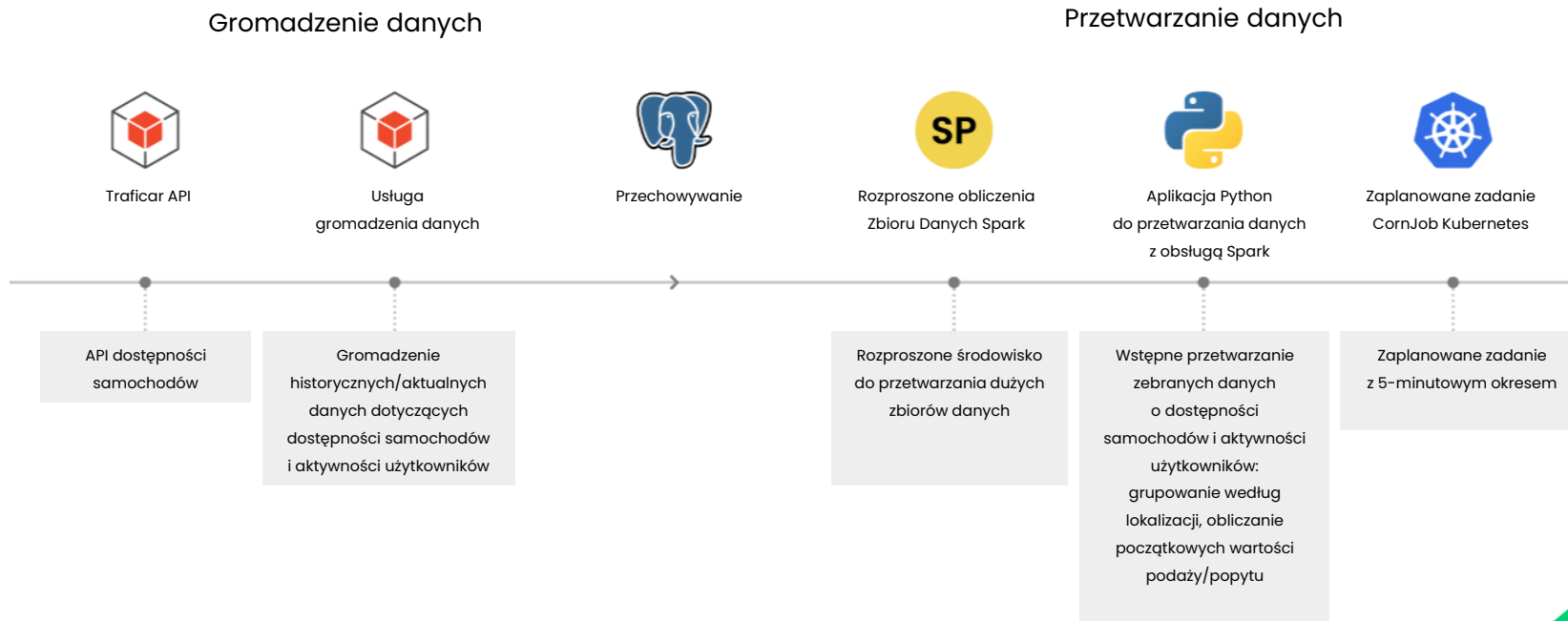
# Jak to działa? Dane źródłowe i analiza



## Parameters

-  TIME range
-  Location and range

# Jak działa moduł od strony technicznej?





**Jak można wykorzystać wyniki działania modułu AI?**

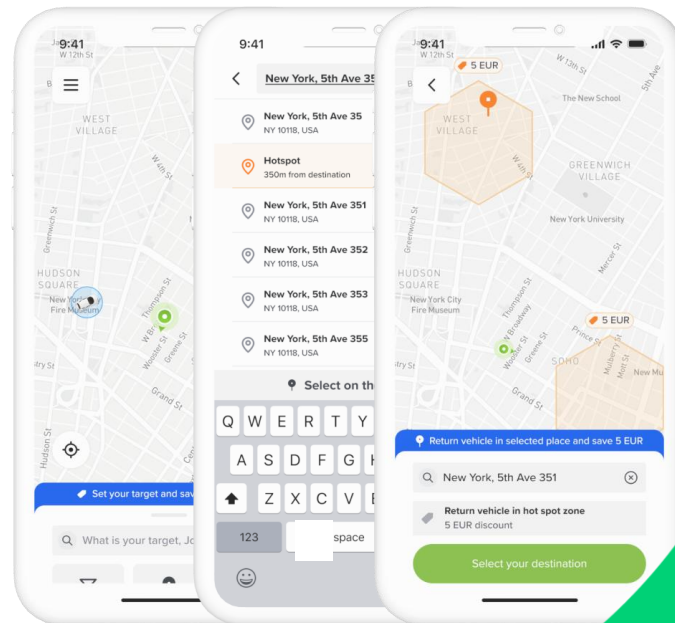
# Idea (vide Uber) Podanie celu podróży

## Korzyści dla operatora:

- budowa bazy danych
- nowe możliwości biznesowe (hot spot)
- lepsza utylizacja floty
- bonusy uzależnione od stref

## Korzyści dla użytkownika:

- transparentność
- lepszy UX
- lepsza oferta -> oszczędność
- Lepsza dostępność usługi



# Problem: Cold spot

## Profit dla operatora carsharing:

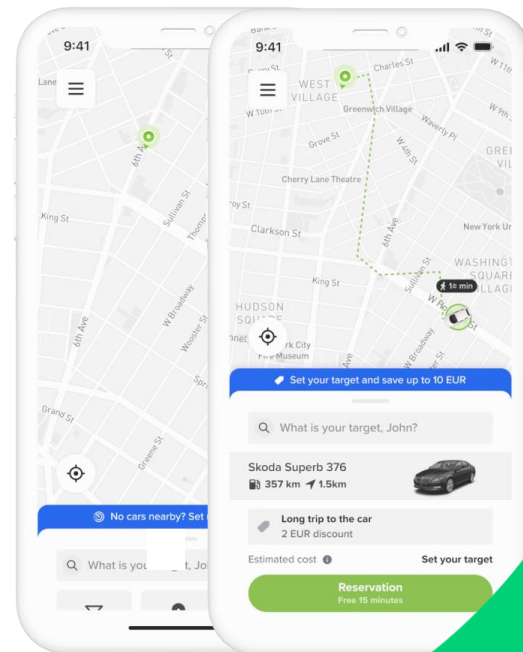
- lepsza użycizacja floty
- Budowa więzi z użytkownikiem, przytrzymanie go w aplikacji

## Korzyści dla użytkownika:

- Więcej możliwości (nawet darmowe podróżowanie)
- Oszczędność pieniędzy

## \*Model predykcyjny

- system wie czy/gdzie będzie zapotrzebowanie na usługę



# Część II

# Motywacje

---

- **Znane rozwiązania problemu relokacji dla usługi korzystającej ze stacji parkowania oparte na MIP (Mixed Integer Programming)**
- **Granice optymalizacji**  
Wyznaczenie teoretyczną granicę poprawy funkcji celu (wskaźnika wykorzystania pojazdów) rozwiązując problem metodą dokładną dla danych empirycznych
- **Podział na sześcioboki o boku 500m jest arbitralny**  
Może pokrywać obszary, które są odległe w sensie odległości drogowej
- **Liczba sześcioboków jest zbyt duża dla MIP (około 250)**  
W literaturze 15-20 przy czasie optymalizacji sięgającym 6 godzin
- **Dobór wielkości obszaru**  
Osiągnięto bardzo dobre wyniki predykcji liczby dostępnych pojazdów i interakcji użytkowników dla dużych obszarów (dzielnic), ale one spadają wraz ze zmniejszeniem obszaru

# Założenia

---

## Podział obszaru świadczenia usługi na kilkadziesiąt stref charakteryzujące się podobnymi własnościami

- Bliską odległością drogową lokalizacji wewnątrz strefy
- Podobnym obserwowanym zachowaniem
- Preferowany jest kulisty kształt
- Ograniczenia dotyczące rozmiarów

## Optymalizacja dwuetapowa

- Pierwszy etap: przemieszczenie pojazdów pomiędzy strefami
- Drugi etap: wybór lokalizacji wewnątrz strefy

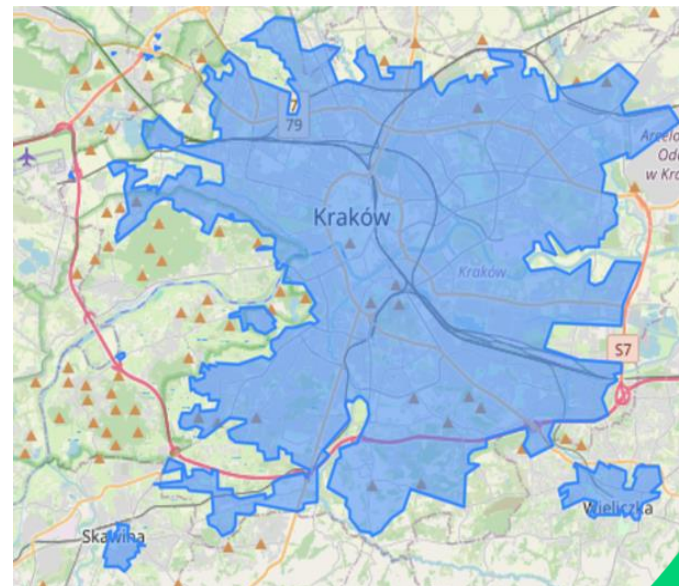
Sugerowane rozwiązanie problemu free-floating:

Weikl, S., & Bogenberger, K. (2015). A practice-ready relocation model for free-floating carsharing systems with electric vehicles—Mesoscopic approach and field trial results. *Transportation Research Part C: Emerging Technologies*, 57, 206–223.

# Dane luty 2021 – luty 2022

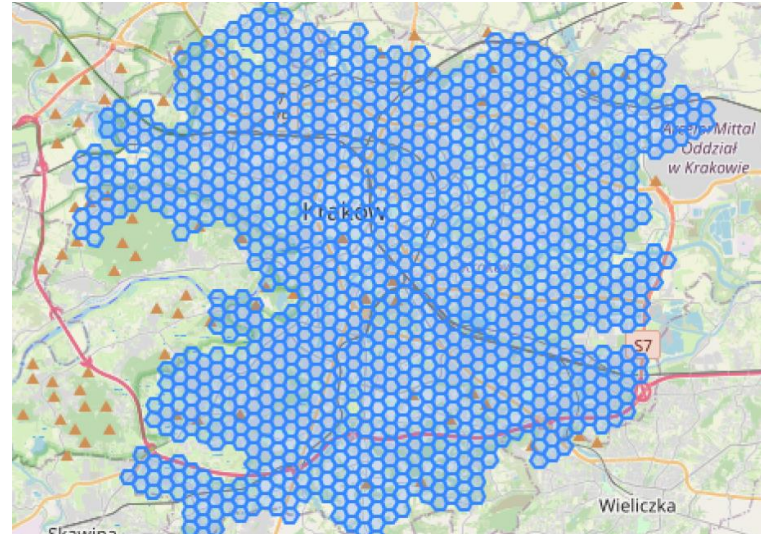
---

- Obszar oferowania usługi (wyłączono Skawinę i Wieliczkę)
- Przejazdy: 239 tys.
- Postoje: 393 tys.
- Interakcje użytkowników z systemem: 5.8 mln



# Podział na strefy

- Obszar oferowania usługi pokryty sześciobokami o boku 250m
- Zaimplementowano aglomeracyjny algorytm grupowania
- Dodatkowe opcje:
  - Ograniczenie rozmiaru grupy
  - Wchłanianie wysp
  - Wchłaniania pojedynczych sześcioboków na granicy obszarów





# Składniki odległości

- Rzeczywista odległość w sieci drogowej pomiędzy centroidami

- Gęstość sieci drogowej

Wyznaczona z danych OSM

- Kształt potencjalnie tworzonej nowej grupy

Preferowane kształty kuliste

- Podobne wzorce czasowe

- liczby zaparkowanych pojazdów

- interakcji użytkowników

Odległość DTW (Dynamic Time Warp)

- Zastosowane wagi

- Walidacja grupowania

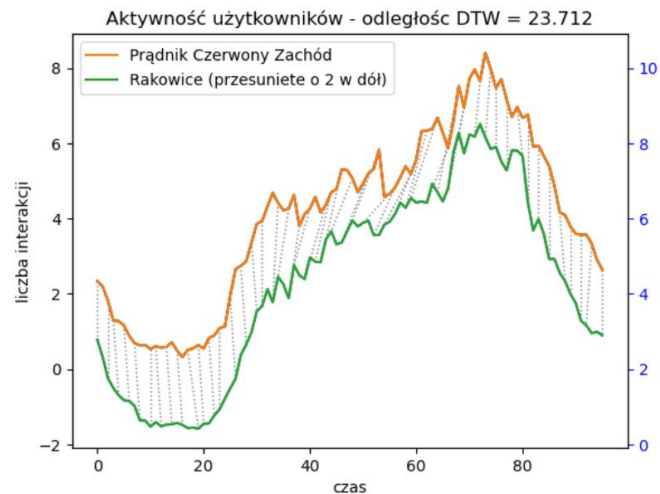
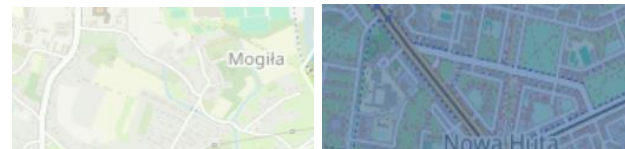
- Jakość predykcji

- Osiągnięto średnią wartość:

$r^2=0.91$  dla predykcji w horyzoncie 30 min i

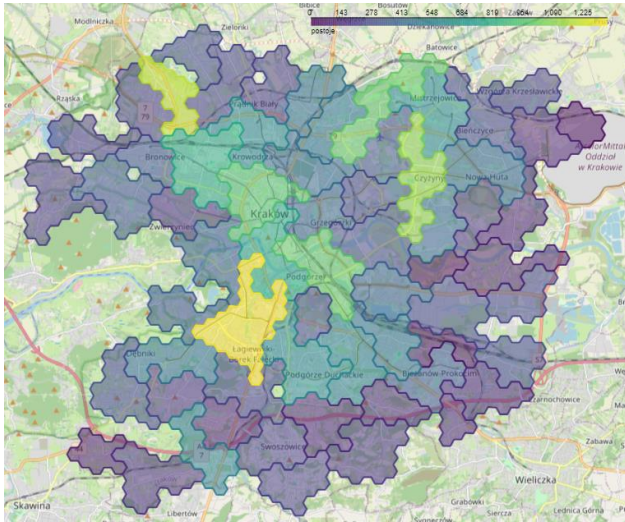
$r^2=0.84$  dla horyzontu 60 min.

- Wyznaczono 63 strefy

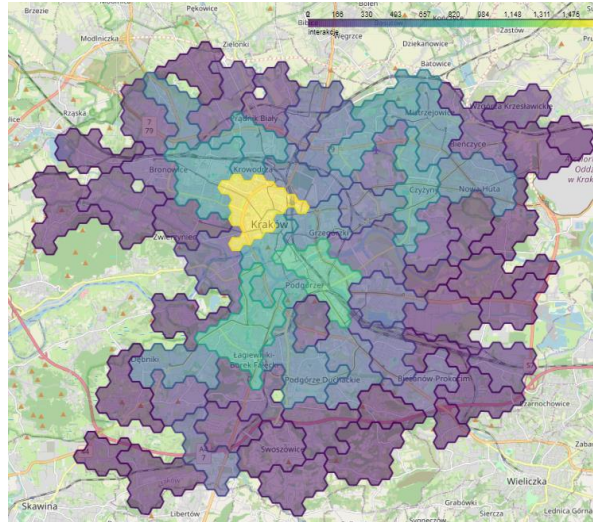


# Analiza danych stref

Postoje w ciągu doby: 7.4-1334

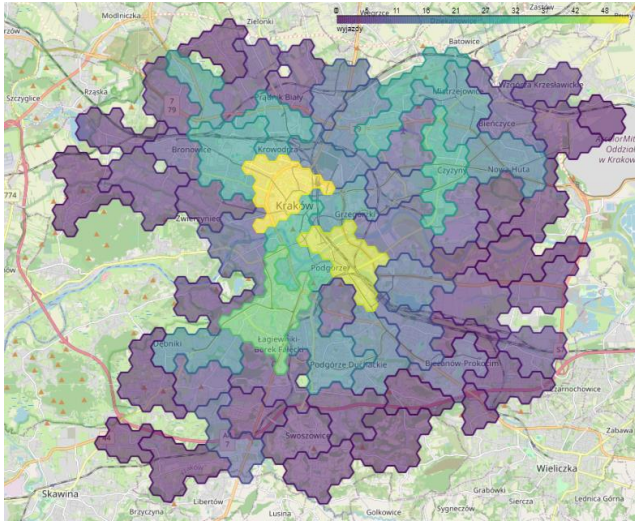


Interakcje w ciągu doby: 2.4-1607

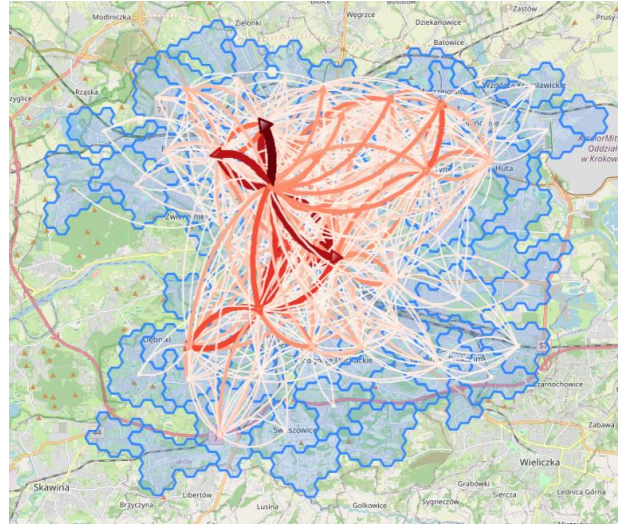


# Analiza danych stref

Wyjazdy w ciągu doby: **0.2-51**



Przebiegi między strefami: **0-4626**



# Optymalizacja

---

- Typ modelu: Stochastic MIP (Mixed Integer Programming)
- Czas dyskretyzowany do 15 min, horyzont 24h
- Parametry modelu:
  - $D[i, j, t]$  – znane zapotrzebowanie klientów na przejazd ze strefy  $i$  do  $j$  w momencie  $t$
  - $T[i, j, t]$  – czasy przejazdu pomiędzy strefami  $i$  oraz  $j$  rozpoczętego w momencie  $t$
  - Inne: początkowa liczba pojazdów w strefach, liczba pojazdów, liczba pracowników
- Zmienne decyzyjne:
  - $x[i, j, t]$  – liczba przydzielonych klientom pojazdów do realizacji przejazdu pomiędzy strefami  $i$  oraz  $j$  w momencie  $t$
  - $y[i, j, t]$  – liczba przydzielonych pracownikom pojazdów do realizacji przemieszczenia pomiędzy strefami  $i$  oraz  $j$  w momencie  $t$

# Model optymalizacyjny

---

## Ograniczenia

- $x[i,j,t] \leq D[i,j,t]$  - liczba przydzielonych pojazdów nie przekracza zapotrzebowania
- Liczba pojazdów w strefach wyznaczana na podstawie przyjazdów i odjazdów
- Przydział pojazdu następuje co 15 minut
- Czas przejazdu na podstawie danych historycznych
- Liczba pracowników na stacjach zależy od przemieszczanych pojazdów

Funkcja celu  $f$  – sumaryczny czas przejazdów zrealizowanych przez klientów

# Przebieg optymalizacji

- Zakładamy, że znane są parametry rozkładu Poissona  $\Lambda[i,j,t]$  pojawienia się zapotrzebowania na przejazd. Na jego podstawie losowana jest pełna macierz zapotrzebowania  $D[i,j,t]$
- Symulacja podjętych decyzji i wykonanych przejazdów tworzy **scenariusz** dla danego zapotrzebowania  $D[i,j,t]$
- Wykonywana jest pewna liczba scenariuszy ( $n=100$ ).
- Wartość średnia funkcji celu przybliża wartość oczekiwaną dla wszystkich możliwych scenariuszy

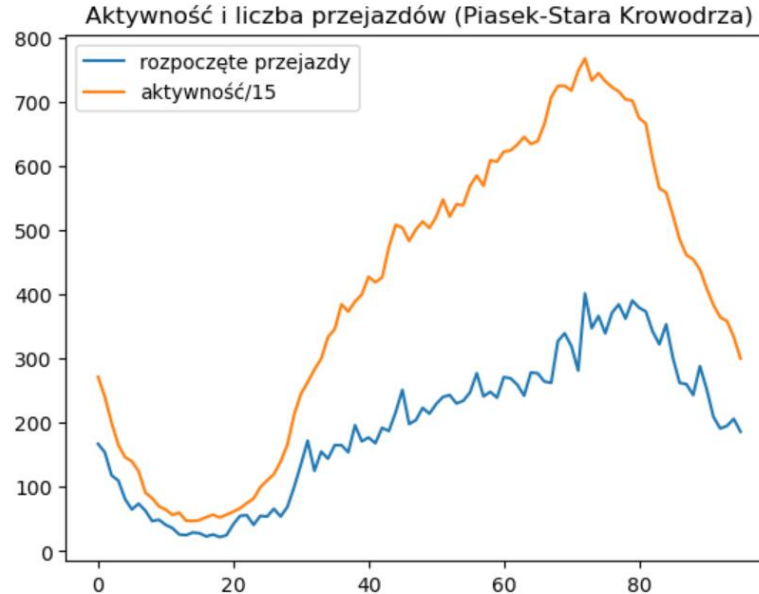
$$\sum_{i=1}^n f(s_i) \approx \mathbf{E}_S(f)$$

- Optymalizacja jest dwupoziomowa – na pierwszym poziomie ustalane są wartości zmiennych decyzyjnych pierwszego etapu (np.: liczba pracowników), a na drugim aproksymowana wartość oczekiwana funkcji celu

# Skąd parametry rozkładu $\Lambda$ ?

## Założenia

- Średnia wartość  $\lambda[i,t]$  zapotrzebowania na przejazdy ze strefy  $i$  w momencie  $t$  zależy od aktywności użytkowników
- Wartość ta rozkłada się na  $\Lambda[i,j,t]$  proporcjonalnie do obserwowanej liczby przejazdów między strefami (dane historyczne)

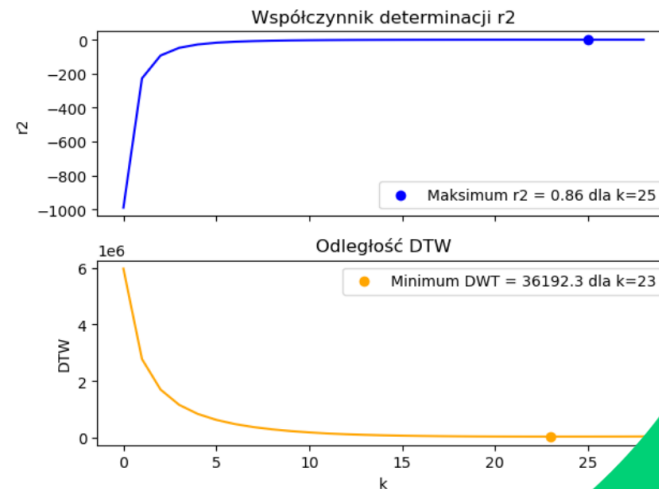


# Współczynnik skalujący: zapotrzebowanie = interakcje/k

## Założenia:

- Na rysunku porównanie odległości pomiędzy przeskalowaną krzywą dobową interakcji i wykonanymi przejazdami
- Najmniejsza odległość dla  $k$  w przybliżeniu 23-25
- Przebiegi są wtedy bliskie pokrycia.
- Czasem aktywność byłaby mniejsza niż liczba rozpoczętych przejazdów...

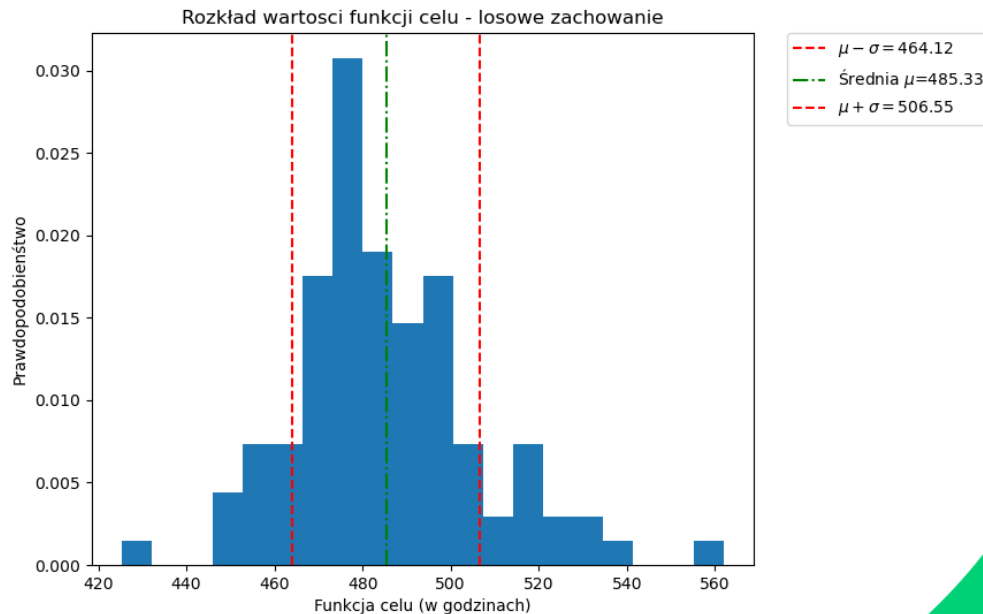
- Przyjęto  $k=15$





# Wyniki: losowe zachowanie – poziom odniesienia

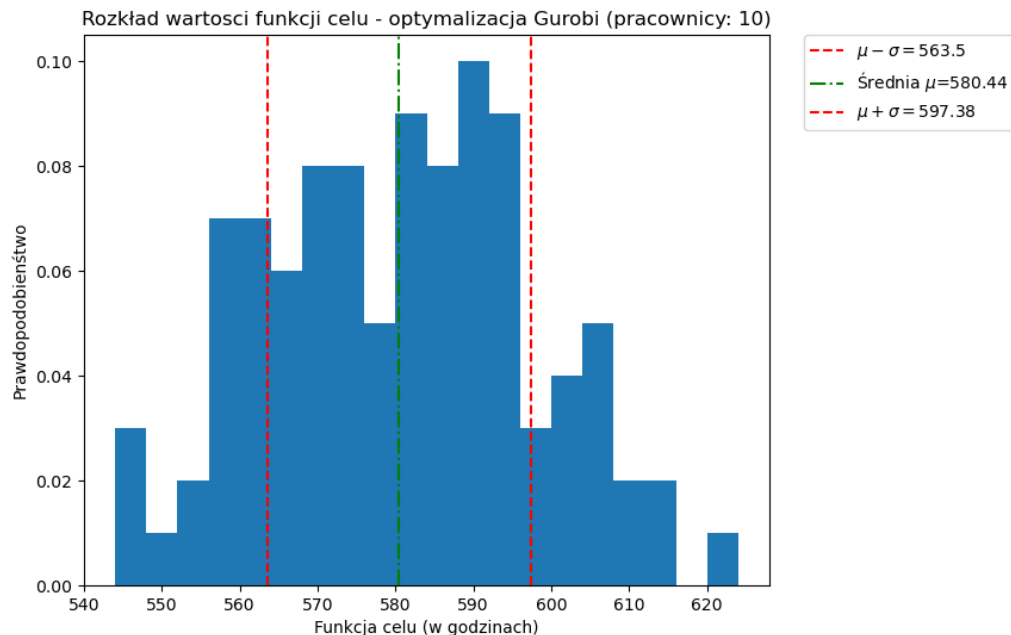
- Losowy przydział pojazdów
- Każdy scenariusz powtórzony 20-krotnie



# Wyniki: optymalizacja w stochastycznym modelu MLP

- Ten sam zestaw scenariuszy
- Solwer: Gurobi
- 100 scenariuszy
- Czas: około 1 min/scenariusz

Poprawa o około 20%



# Estymacja jądrowa

Dany jest zbiór punktów  $X = \{x_1, \dots, x_n\}$

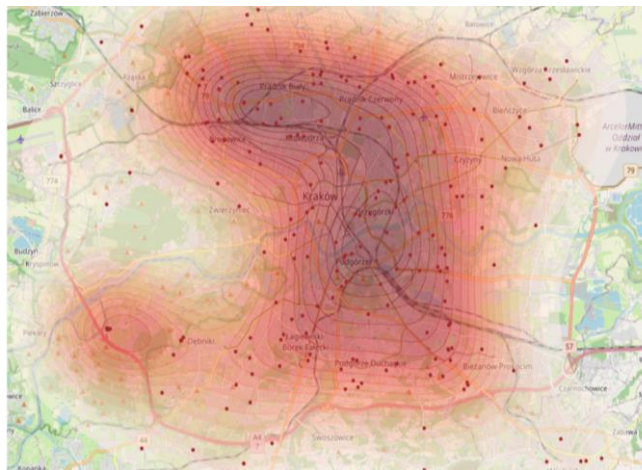
Gęstość prawdopodobieństwa określona jest wzorem:

$$f(x) = \frac{1}{nh} \sum_{i=1}^n K\left(\frac{d(x, x_i)}{h}\right)$$

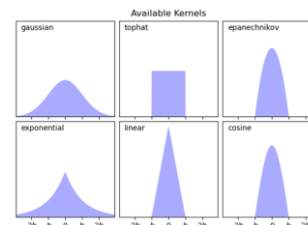
$d(x, x_i)$  – odległość

$K$  – funkcja jądra

$h$  – szerokość pasma

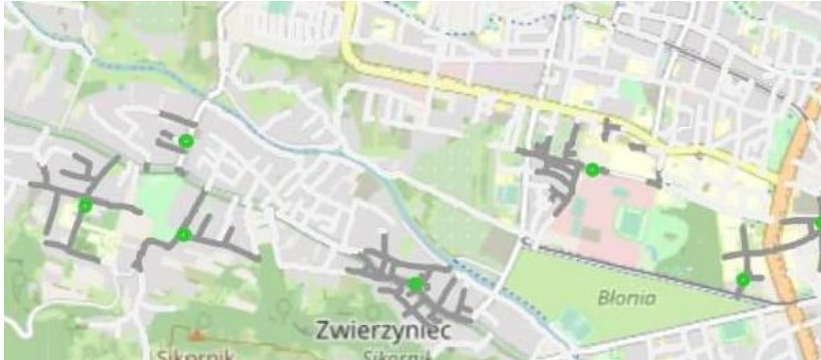


łatwa do  
wyznaczenia  
w 2D dla odległości  
euklidesowej



# Estymacja jądrowa w sieci drogowej

- Zastąpienie odległości euklidesowej odległością drogową
- Analogia do hot-spotów, czy pikseli dla KDE ale obiektami agregującymi są odcinki dróg
- Rozkład prawdopodobieństwa dla postojów pojazdów lub interakcji użytkownika



Zielone punkty – zaparkowane pojazdy  
Szarym kolorem oznaczono ulice z przypisaną wartością rozkładu powyżej wybranego progu

# Estymacja jądrowa w sieci drogowej

- Wykorzystano mapę OSM (Postgres z rozszerzeniem PostGIS)
- Przetwarzanie wstępne
  - Podział sieci drogowej na odcinki (do 60m)
  - Redukcja liczby odcinków (wyłączenie dróg z zakazem parkowania, dróg określonej kategorii, rond, itp.)

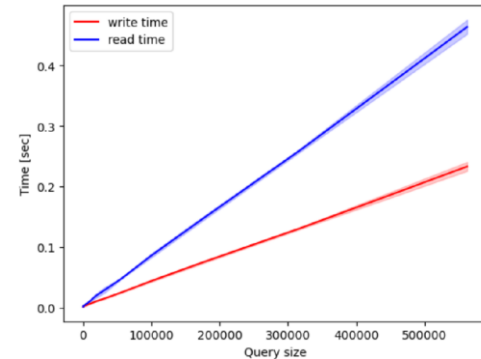


# Problem wydajności

- Liczba odcinków po redukcji – około 100 tys
- Formuła gęstości  $f(x) = \frac{1}{nh} \sum_{i=1}^n K\left(\frac{d(x, x_i)}{h}\right)$   
wymaga dla danej obserwacji  $x_i$  wyznaczenia 100 tys. wartości odległości dla par  $(x, x_i)$
- Wewnętrznie wykorzystywana jest funkcja pgr\_dijkstra() z rozszerzenia pgRouting dla Postgres

## Usprawnienia:

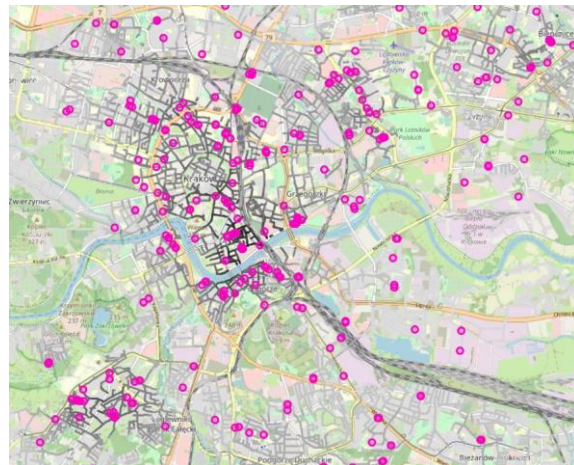
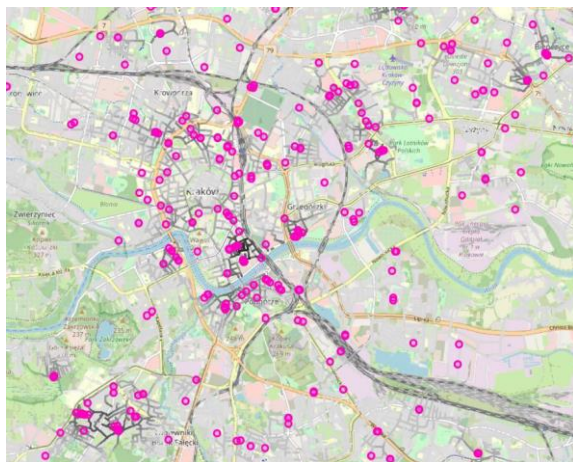
- obliczenia tylko dla odcinków odległych o dwie szerokości pasma
- Zastosowanie mechanizmu pamięci podręcznej:  
Tablica 100\_000 x 100\_000 odległości drogowych przechowywana  
jest w pliku o rozmiarach około 37GB
- Przyspieszenie – około 30 krotne



# Dobór funkcji jądra i pasma

Otrzymane rozkłady zależą od funkcji jądra i szerokości pasma.

Po lewej rozkład dla szerokości pasma  $h = 500\text{ m}$ , po prawej  $h = 1\text{ km}$



# Dobór funkcji jądra i pasma

## Walidacja:

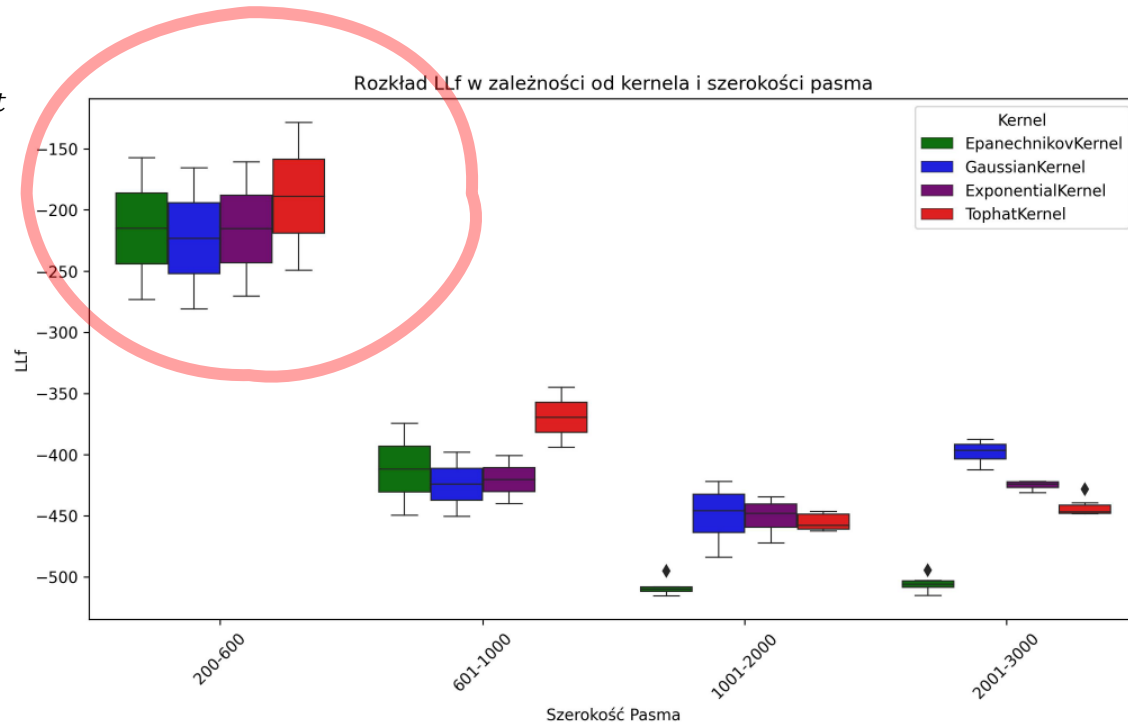
- Podział obserwacji  $X = \{x_1, \dots, x_n\}$  na dwa zbiory  $X_{train}$  i  $X_{test}$
- Budowa modelu rozkładu  $f(x)$  dla obserwacji z  $X_{train}$
- Wyznaczenie prawdopodobieństwa pojawienia się obserwacji z  $X_{test}$

$$P(X_{test}) = \prod_{x_i \in X_{test}} f(x_i)$$

lub po przekształceniu:

$$\begin{aligned} LL(X_{test}) &= \ln(P(X_{test})) \\ &= \sum_{x_i \in X_{test}} \ln(f(x_i)) \end{aligned}$$

- Wybór parametrów, dla których  $LL(X_{test})$  ma najwyższą wartość





# Propagacja informacji w grafie

Jądrowa estymacja w grafie sieci drogowej może być postrzegana jako jedno z rozwiązań bardziej ogólnego zagadnienia propagacji informacji w grafie, w którym węzły  $i=1, \dots, n$  przechowują swój stan (poziom aktywacji)  $x[i]$ , uaktualniają go po otrzymaniu komunikatu od sąsiadów i rozsyłają dalej komunikaty

```
Algorytm iteracji dla i-tego węzła
  v = receive()                # przyjęcie komunikatu
  x[i] <- f(x[i], v)           # uaktualnienie stanu
  if t(x[i], v) > próg_aktywacji: # czy rozsyłać informację
    for j in neighbors():
      send(j, g(x[i], v))     # wysłanie komunikatu do sąsiadów
```

Konkretna implementacja zależy od doboru funkcji:

- Uaktualnienie stanu za pomocą  $f(x[i], v)$  – np. sumowanie
- Decyzja o rozestaniu informacji  $t(x[i], v)$  – na podstawie stanu lub otrzymanego komunikatu
- Wybór zbioru sąsiadów  $neighbors()$  – pojedyncze czy wielokrotne odwiedziny
- Wartość do przesłania:  $g(x[i], v)$  – np. określona funkcja jądra

# Dobór funkcji jądra i pasma

---

Przebadano następujące algorytmy:

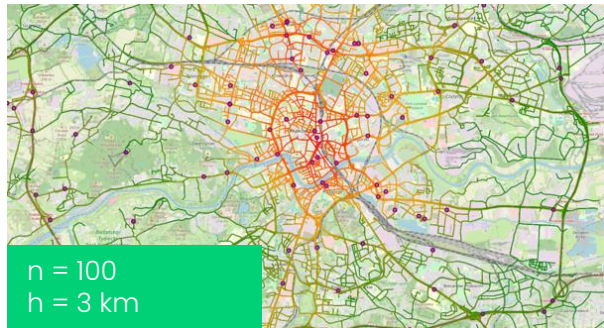
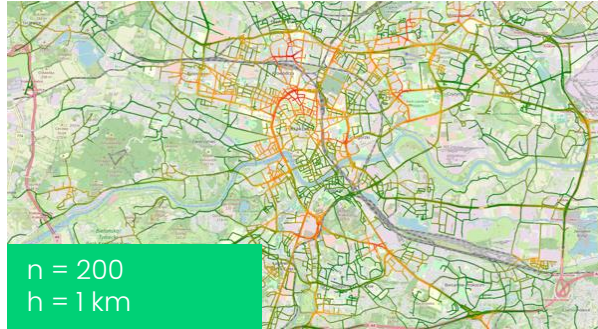
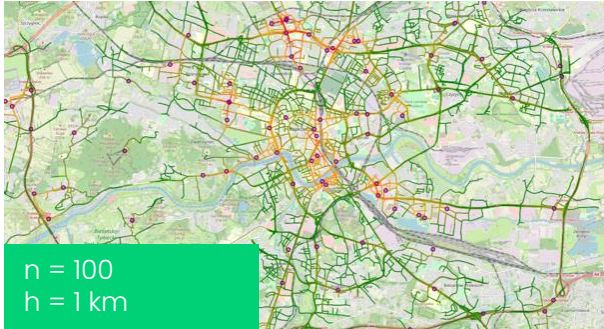
- **Wavefront** – przeszukiwanie grafu wszerz, dla pojedynczego źródła aktywacji węzły odwiedzane tylko raz
- **Pregel** – możliwość wielokrotnego przesyłania komunikatów wstecznych, propagacja następuje w superkrokach, w pierwszej części uaktualnienie stanu na podstawie wszystkich odebranych komunikatów, w drugiej rozestanie komunikatów
- **RandomWalk** – losowy wybór tylko jednego sąsiada do odwiedzenia.  
Prawdopodobieństwo wyboru zależne od klasy drogi

W każdym przypadku zastosowano kernel Gaussa o różnej szerokości pasma.

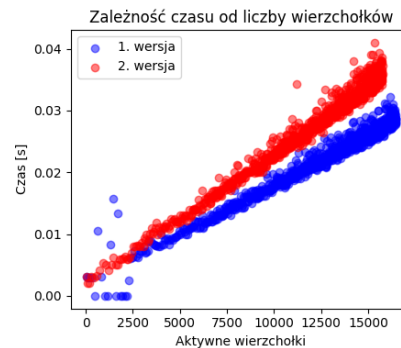
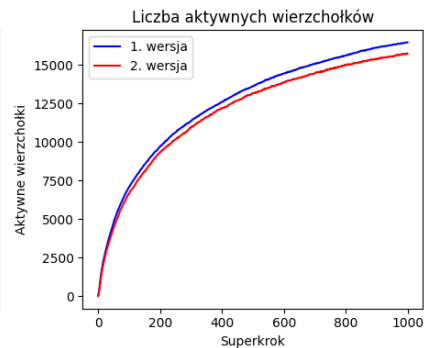
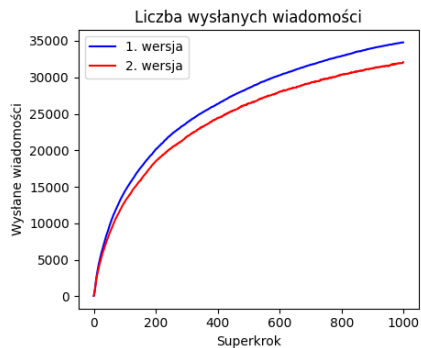
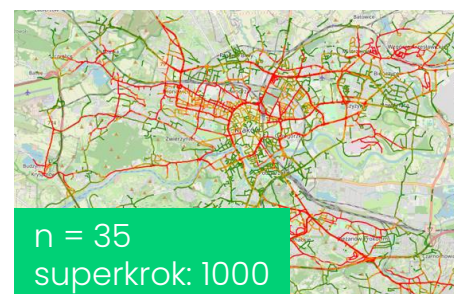
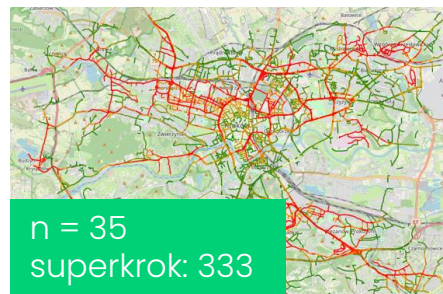
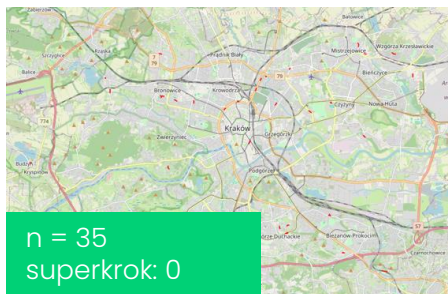
Eksperymenty przeprowadzono dla przypadków różniących się liczbą aktywowanych punktów początkowych

# Wavefront

---



# Pregel

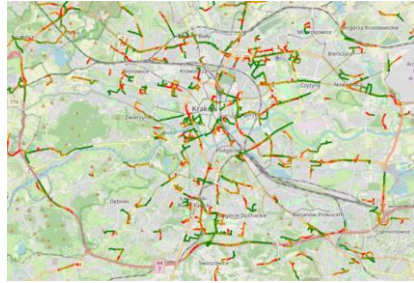


# Random Walk

---



$n = 100$   
 $h = 500 \text{ m}$



$n = 100$   
 $h = 2 \text{ km}$



$n = 100$   
 $h = 16 \text{ km}$



$n = 100$   
 $h = 64 \text{ km}$

# Algorytmy propagacji

---

- **Obiecujące ze względu na dużą szybkość działania**

Możliwa implementacja na GPU

- **Porównanie wynikowych grafów – odległość wektorów aktywacji**

Potrzeba opracowania bardziej semantycznej miary

- **Przetestowane na danych syntetycznych**

Potencjalne zastosowanie do estymacji prawdopodobieństwa wymaga walidacji,  
jak dla estymacji jądrowej

# Prace

---

Przedstawione badania zrealizowano w ramach następujących prac dyplomowych:

- Kamil Roman:  
Grupowanie i predykcja dla danych komunikacyjnych z systemu Car Sharing, 2023, praca magisterska
- Konrad Podgórski:  
Estymacja gęstości prawdopodobieństwa dla danych ruchu drogowego, 2023, praca magisterska
- Dominik Kikla:  
Optymalizacja rozmieszczenia pojazdów w systemie Car Sharing, 2024, praca inżynierska
- Patryk Gęgotek:  
Algorytmy propagacji informacji w dużych grafach, 2024, praca inżynierska

# Podsumowanie

---

- Platforma Core Logic oferuje **dedykowane oprogramowanie dla usługi Car Sharing**
- Przedstawiono koncepcję zastosowania sztucznej inteligencji dla poprawy efektywności usługi oraz produkcyjne rozwiązania techniczne
- Badania przeprowadzone przy okazji wdrożenia są kontynuowane:
  - podział na strefy
  - algorytmy optymalizacji
  - metody szacowania popytu i podaży oparte na ich estymacji dla grafu sieci drogowej